

(III-20)

中间流水深分布を考慮した山腹崩壊の規模の推定

群馬大学 正員 小葉竹重機
群馬大学 星野 行宏

1. 考え方：これまでに中间流水深分布が一樣でない場合に、従来の安定解析法を拡張適用した、崩壊の二次元形状を推定するモデルを提案してきた¹⁾。本報告はこのモデルを用いて行った数値シミュレーションの結果について報告するものである。

2. モデル及び計算法の概要：1つの斜面中のさらに微地形のV字形凹形を、図-1のようにモデル化する。斜面全体の勾配を主傾斜角 α 、微地形の勾配を副傾斜角 β とする。不透水性基岩の上に直接、厚さ D の中间流発生層があるものとし、中间流は図-1の点線で示すように三角錐の形で発生するものと仮定する。このようにモデル化された地形に対して、安定解析法の1つである円弧すべり面に関する分割法を拡張適用して安定計算を行い。計算法の基本的手順は次のようである。1)副傾斜角方向(以下横方向)を図-2に示すように単位中に分割する。2) $j=1$ からの各単位斜面について円弧すべり面を仮定し、円弧の中心に働くせん断力、せん断抵抗力のモーメントを求める。この時、せん断抵抗力として、円弧の側面にも粘着力を与える点が特徴である。ただし、すべり円弧は斜面の下端で基岩に接するものと仮定し、各 j についてじ番目に仮定する円弧は各 j に共通とする。また各 j の中间流の水深は図-1に示す三角錐形状から求めたものを用いる。3)次式によって安全率 F を計算する。

$$F_{c,j} = \frac{M_{c,j} + \sum_{i=1}^k (M_{b,i,j} + M_{w,i,j} - M_{h,i,j})}{\sum_{i=1}^k M_{t,i,j}}$$

ここで、下：安全率、 M_c ：側面粘着力によるモーメント、 M_b ：円弧底面の粘着力によるモーメント、 M_w ：中间流がない場合の摩擦力のモーメント、 M_h ：中间水圧による摩擦力の減少分のモーメント、 M_t ：せん断力のモーメント、であり、添字 j はじ番目のすべり円弧、 i は横方向分割片の番号を表す。 δ ：中间流の水深が増加し、最初に崩壊する主方向の崩壊現象、 L_s ：横方向の崩壊現象とする。

3. 数値シミュレーションの結果：考案した地形モデルは、層厚 D は0.5mから3mまでを0.5m間隔で、 α は20°から45°まで5°ずつで、 β は5°と10°とした。また粘着力に関しては、中间流の有無に拘らず無条件に不安定となる下限値(図-4(a))に沿って示す)から、地表面のほぼ全域に中间流が発生してもなおかつ安定な値(上限値)まで、の間(図-4(b))がその一例である。(b)図で二重ハッチの部分は表面流が発生するまでに崩壊する範囲である。但し、以下の計算では、現実との整合も考え、表面流発生は下流端から10m程度までとしているため、考案した粘着力の範囲は図示のものより上限の値は小さくなる、ている。その他の定数は f_{sat} (飽和単位体積重量) = 1.92 ton/m³、内部摩擦角 $\phi = 30^\circ$ としている。また横方向単位巾は0.2m、中间流水深の上界巾は0.01mとして計算を進めた。

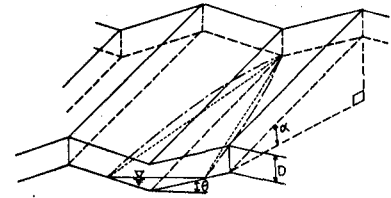


図-1 地形モデル

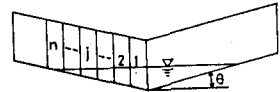


図-2 横方向の分割

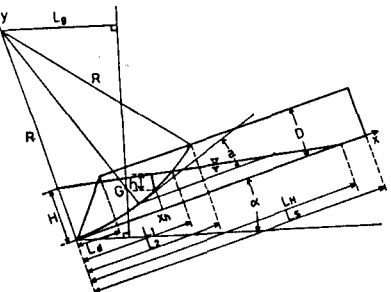


図-3 記号説明図

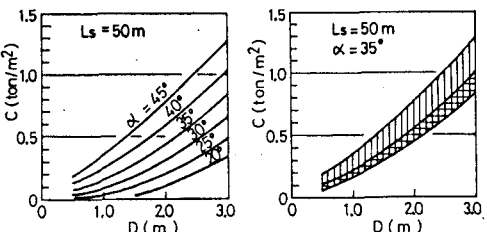
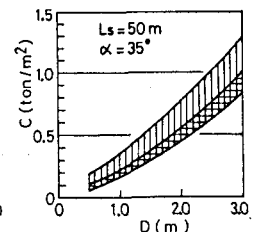


図-4 有意義な粘着力の範囲への一例



斜面長50m, $\theta = 10^\circ$ の

表-1 記号一覧表

場合の崩壊長Lと崩壊

	0.1	0.2	0.3	0.4	0.5	0.6	0.7	0.8	0.9	1.0	1.1	1.2	1.3	1.4
W/m	○	◎	●											
W/m	■	□	△	×	×	×	×	×	×	×	×	×	×	×

c: ton/m^2 , D: m

へのについて横軸と

主傾斜角 θ にとて示したもののが図-5である。 $L_{50}(10^\circ)$

とは斜面長50m, $\theta = 10^\circ$ の場合の崩壊長Lと, $W_{50}(10^\circ)$ とは同じ

場合の崩壊巾Wを表すものとし、以下同様の記述を用いる。また以後の図中に用いられていく記号は表-1に示すものである。

図-5より層厚が薄い場合には、 θ の増加とともにLは増大する

がWの変化は小さく、層厚が厚い場合には、Lの増加よりもWの

増加の方が大きいことが分る。また層厚が薄い場合には $W/L < 1$

厚い場合には $W/L > 1$ となる。これより、この傾向は従来の災害調査

の結果から得られていく知見と定性的に一致する。図-6の上2図

は $L_{150}(10^\circ)$ と $L_{50}(10^\circ)$ 及び $W_{150}(10^\circ)$ と $W_{50}(10^\circ)$ との比較、

下の2図は $L_{50}(5^\circ)$ と $L_{50}(10^\circ)$ 及び $W_{50}(5^\circ)$ と $W_{50}(10^\circ)$ との比

較、を示したものである。斜面長が長くなると、層厚が薄い場合

には崩壊長Lは顕著に増大するが、崩壊巾Wは層厚によらず変化

しないことが分る。逆に、副傾斜角 θ が緩くなると、Lはほとんど変化しないが、Wは層厚に関係なく一定の比率で増大するところが分る。図-7の左図は斜面長50m, $\theta = 10^\circ$ の場合の崩壊体積Vと、横軸に主傾斜角 θ にとて示したもので、層厚が厚くなると

θ へ増大と共に崩壊土量は急激に増加するところが分る。また

右図は $V_{50}(5^\circ)$, $V_{150}(10^\circ)$ と $V_{50}(10^\circ)$ との比較を示したもの

で、層厚が厚い場合には θ が緩くなるほど一定の比率で崩壊工

量は増大するが、斜面長が長くなれば、た場合に崩壊工量はほとんど変化しないことが分る。こまでは図-6からも当然予想される。図-8は斜面長50m, $\theta = 10^\circ$ の場合の崩壊時の水深 $H_{50}(10^\circ)$ (Hの定義は図-3参照)と $H_{150}(10^\circ)$, $H_{50}(5^\circ)$ と $H_{50}(10^\circ)$ との比較を示したものである。斜面長が長くなると、 θ も、また θ が緩くなると、ても中間流の水深は小さいところでは崩壊が発生するところが分る。こまでは崩壊までに必要な積算雨量を表示したものが図-9である。この図は表層が f_{sat} 状態になら後に50mm/hrの常定降雨が降り続くとして求めたものである。横方向斜面長を片面50m、雨水の伝播速度は θ 、 θ 両方向ともに0.1cm/sec、空隙率は0.6としている。図示の値に、ほぼ f_{sat} の状態にならまでに必要な降水量を加える必要があるが、積算雨量はほぼ妥当な範囲にみえると考えられる。

参考) 1) 60年度年次調査会標査集

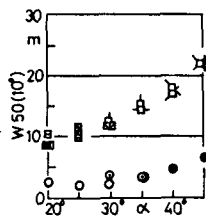
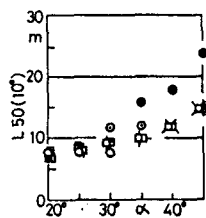


図-5 崩壊長と崩壊巾の計算例

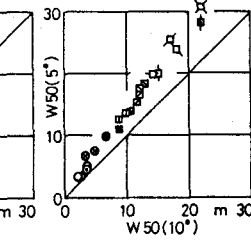
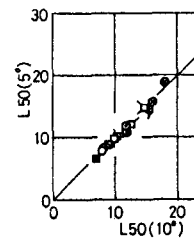
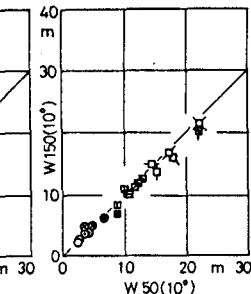
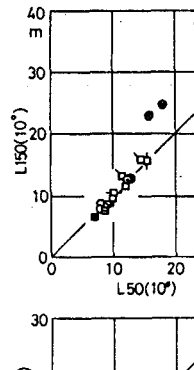


図-6 斜面長の効果(上図)と θ の効果(下図)

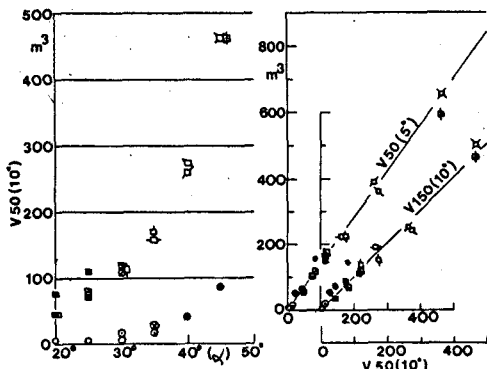


図-7 崩壊工量の計算例と斜面長及び θ の効果

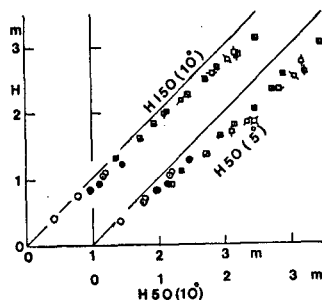


図-8 崩壊時の水深の比較

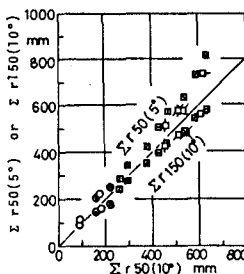


図-9 積算雨量に及ぼす斜面長と θ の効果